

## 9. Multiplikative Erhaltensätze

Symmetrioperatoren ist unitäre Transformation,  $U$ .  
 Transformationsexponent ist herwirksch, Eigenwerte  
 erhalten wenn  $[H, U] = 0$

$$U \Psi = u_\alpha \Psi \text{ mit Eigenwerten } u_\alpha$$

$$2\text{-Teilchensystem: } U \Psi_\alpha \Psi_\beta = U_\alpha U_\beta \Psi_\alpha \Psi_\beta = u_\alpha u_\beta \Psi$$

### 9.1 Parität

Paritätstransformation ist reellwertige Perversion

$$P(x, y, z) = (-x, -y, -z) \text{ diskrete Transformation}$$

$$P \Psi(\vec{r}) = \Psi(-\vec{r})$$

Offensichtlich  $P^2 = 1$  Einheitstransformation

also nur Eigenwerte  $\pm 1$  möglich

Seien  $\Psi(\vec{r})$  eine Eigenfunktion der Parität,

$$P \Psi(\vec{r}) = \Psi(-\vec{r}) = \pi \Psi(\vec{r}) \text{ mit } \pi = \pm 1$$

$\pi = +1$  Zustand hat "gerade" Parität

$-1$  " " "ungerade" "

- Elementarteilchen, Hadronen, Atomkerne, Atome, Austauschbosonen sind alle in Eigenzuständen des P-Operators, haben also eine Parität

- Observable verhalten sich unterschiedlich unter Paritätstransformation

- "echte" Vektoren wie  $\vec{r}, \vec{p}, \vec{E}$  ändern Variablen unter Paritätstransformation  $\leftrightarrow$  "polare Vektoren"
- andere wie  $\vec{L} = \vec{r} \times \vec{p}, \vec{S}, \vec{B}$  sind unverändert oder invariant  $\leftrightarrow$  "axiale Vektoren"  $P L_x = (-y)(-p_x) - (-z)(-p_y) = L_x$
- Skalarprodukte von Vektoren:

polar · polar oder axial · axial sind invariant unter  $P \leftrightarrow$  "echte Skalare"

polar · axial, wie  $\vec{p} \cdot \vec{L}$  ändern ihr Vorzeichen unter  $P \leftrightarrow$  "Pseudoskalare"

- Transformation des räumlichen Teils einer Wellenfunktion in Kugelkoordinaten

$$\Psi(\vec{r}) = R(r) \sum Y_{lm}(\vartheta, \varphi) \text{ mit } Y_{lm}(\vartheta, \varphi) = P_e^m(\cos \vartheta) \exp(i m \varphi)$$

$$P(r, \vartheta, \varphi) = (r, \pi - \vartheta, \varphi + \pi)$$

$$P \exp(im\varphi) = \exp(i m(\varphi + \pi)) = (-1)^m \exp(im\varphi)$$

$$P P_e^m(\cos \vartheta) = P_e^m(\cos(\pi - \vartheta)) = (-1)^{l+m} P_e^m(\cos \vartheta)$$

$$P Y_{lm}(\vartheta, \varphi) = (-1)^{l+m} Y_{lm} = (-1)^l Y_{lm}$$

- Paritätsersatzung in einem Vielelektronensystem:  
da die Parität  $\pi$  eine multiplikative Quantenzahl  $\rightarrow$  bei Paritätsersatzung ist Produkt der (intrinsischen) Paritäten aller involvierten Teilchen und ihrer Relativbewegung erhalten

z.B. 2-Teilchensystem mit Wellenfunktion

$$\Psi = \Psi_\alpha(\vec{r}_\alpha) \Psi_\beta(\vec{r}_\beta) \Phi(\vec{r}_\alpha - \vec{r}_\beta)$$

$$P\Psi = \pi_\alpha \pi_\beta \Psi_\alpha \Psi_\beta P\Phi = \pi_\alpha \pi_\beta (-1)^l \Psi \text{ wenn } \Phi \text{ durch Kugelfunktionen beschrieben}$$

- alle Messungen bisher bestätigen: em. und starkes  $WW$ -Erhalten Parität

Beispiel: Zustände in Kerne können nach ihrer Parität klassifiziert werden, aber kann noch

Paritätsverboten Zerfall suchen

$\alpha$ -Zerfall eines ungünstigen Zustands in  ${}^{16}\text{O}^*$   
mit  $E^* = 8.87 \text{ keV}$  und  $J^\pi = 2^-$



$\pi^- -1 \quad +1 \quad +1 \leftarrow$  alle gg-kerne haben im  
Grundzustand  $J^\pi = 0^+$

dann ist Zerfall im Grundzustand möglich, wobei  
 $(-1)^\ell$  negativ sein also ungerade. Da aber  $A_f=2$ ,  
 $\rightarrow \ell = 2$  gerade

d.h. Zerfall nur möglich, wenn Kerenzustand  
entweder in  ${}^{16}\text{O}^*$  oder  ${}^{12}\text{C}$  eine Beimischung der  
entgegengesetzten Parität hat

Erwartet für erlaubten  $\alpha$ -Zerfall  $\Gamma_\alpha = 60 \text{ keV}$ ,  
wesel  $\Gamma_\alpha < 2 \cdot 10^{-8} \text{ eV}$ , also nur Obergrenze  
bedeutet Reduktion um Faktor  $3 \cdot 10^{-12}$ , d.h.  
Beimischung der anderen Parität in Kernwellen-  
funktion  $< 10^{-6}$

### • Paritätspräzision für Teilchen

man kann zeigen, daß relative Parität von  
Zuständen verschiedener Ladung grundsätzlich  
nicht messbar ist. Gilt für elektrische Ladung,  
aber genauso für alle anderen Quantenzahlen.

$\rightarrow$  Prädikung aufgrund theor. Argumente  
d.h. für Hadronen mit Quantenzahlen ( $Q, A, S$ )  
(Ladung, Baryonzahl, Strangeness) werden 3 Paritäten  
definiert:  $\pi_p = \pi_n = \pi_\Lambda = +1$

die Paritäten aller anderen Hadronen sind  
relativ dazu unmessbar

z.B. Pion: bekannte Reaktion  $\pi^- + d \rightarrow n + n$

$$\pi_{\pi^-} \cdot \pi_d (-1)^{li} = \underbrace{\pi_n^2}_{+1} (-1)^{lf} \quad \pi_d = \pi_p \cdot \pi_n \text{ im Grundzust.}$$

mit Kenntnis einiger Eigenschaften des Deuterons ( $L=0, S=1, J=1$ ) und der Gifägsreaktion (Pion wird in atomarem S-Zustand emittiert,  $li=0$ ) kann man die Parität festlegen:  $\pi_{\pi^-} = -1$  ebenso  $\pi^0$  und  $\pi^+$  (Messung  $\pi^0$ : Pais et al. PRL 3 (1959) 525) alle Gleichbosonen haben negative Parität ( $\gamma, g, W^\pm, Z$ ) Higgs  $\gamma'' = 0^+$  und gegenw. Standard

Fermion-Antifermionen (z.B.  $p$  und  $\bar{p}$ ) haben entgegengesetzte Parität (auch aus Diractheorie erwartet)

Boson-Antiboson haben gleiche Parität

## • Paritätsverletzung in der schwachen WW

$\Omega$ - $\Xi$  Puzzle: in frühen 1950er Jahren 2 Zerfälle beobachtet  $\Omega^0 \rightarrow \pi^+ + \pi^-$  und  $\Xi \rightarrow \pi^+ + \pi^0 + \pi^-$

$\Omega$  und  $\Xi$  haben Spin  $S=0$  und identische Massen und Lebensdauern. Dasselbe Teilchen? Ab das würde Parität verletzen,  $S_\Omega = S_\Xi = S_{\bar{\Pi}} = 0 \approx lf = 0$

$$\pi_\Omega = \pi_{\pi^+} \cdot \pi_{\pi^-} = +1 \quad \pi_\Xi = \pi_{\pi^+} \cdot \pi_{\pi^-} \cdot \pi_{\pi^0} = -1$$

1956 Analyse aller Daten von T.D. Lee und C.N. Yang  
 → keine Evidenz für Paritätsverletzung in der schwachen WW (Phys. Rev. 104 (1956) 254)

Vorschlag, wie man Paritätsverletzung testen kann.  
 Als erste führt Chien-Shiung Wu "Madame Wu",  
 β-Zerfallsexpertin von Columbia Univ. zur Tief-

Temperaturgruppe des National Bureau of Standards in Washington Weihnachten 1956 experiment durch.

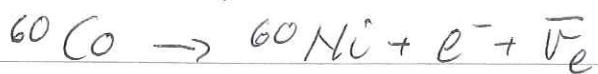
- Wie weiß man Paritätsverletzung? finde Erwartungswert eines Pseudoskalars von Null verschließen, z.B.  $\vec{v} \cdot \vec{s}$  P herauksch,  $P^+P = 1$

$$\langle \psi | \vec{v} \cdot \vec{s} | \psi \rangle = \langle \psi | \vec{v} \cdot \vec{s} P^+ P | \psi \rangle$$

$$= - \langle \psi | P^+ \vec{v} \cdot \vec{s} P | \psi \rangle \quad \text{da } P \text{ Vierzielder Pseudo-skalar umkehrt}$$

$$= - \underbrace{\pi}_{+1}^2 \langle \psi | \vec{v} \cdot \vec{s} | \psi \rangle = 0$$

Messe z.B. Drehverteilung von  $\beta$ -Zerfall von polarisierten Atomkern



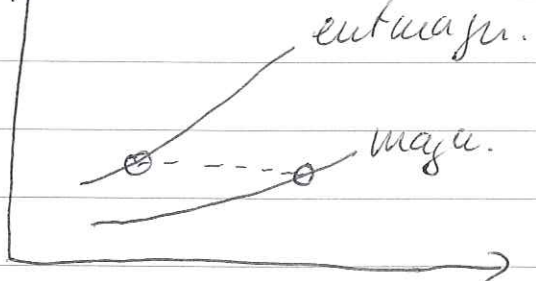
Kernspinpolarisierung in Co-Salz durch starkes  $B$ -Feld bei sehr niedriger Temperatur

Bedingung: Zeeman-Aufspaltung  $g\mu_B B \gg kT$ , dann nur niedrigstes Niveau besetzt, Kernspin hat definierte Orientierung relativ zu  $\vec{B}$

$$\text{da } \mu_H = 3.15 \cdot 10^{-14} \text{ Rev/T} \approx kT \ll 3 \cdot 10^{-14} \text{ Rev}$$

und  $B \approx 1 \text{ T}$   $T \ll \text{mK millikelvin}$

Kühlung durch adiabatische Demagnetisierung von Cov-Magnesium (Kobalt) Nitrat ( $\text{Co saur}$  dünne Oberflächenschicht auf  $\text{CeO}_2 \text{NO}_3$  Kristall Eukopie 5)



magn. Zustand hat höhere Ordnung als entwagn. stabiler Zustand  $\Rightarrow$  Entwagnung kühlend

(Rose-Carter Methode)

Kühle auf ca 1K (fl. He), legt  $B$ -Feld an, spin die paramagn. Atome (Cov) werden ausgesondert. Abschalten  $B$ -Feld  $\rightarrow$  Kühlung

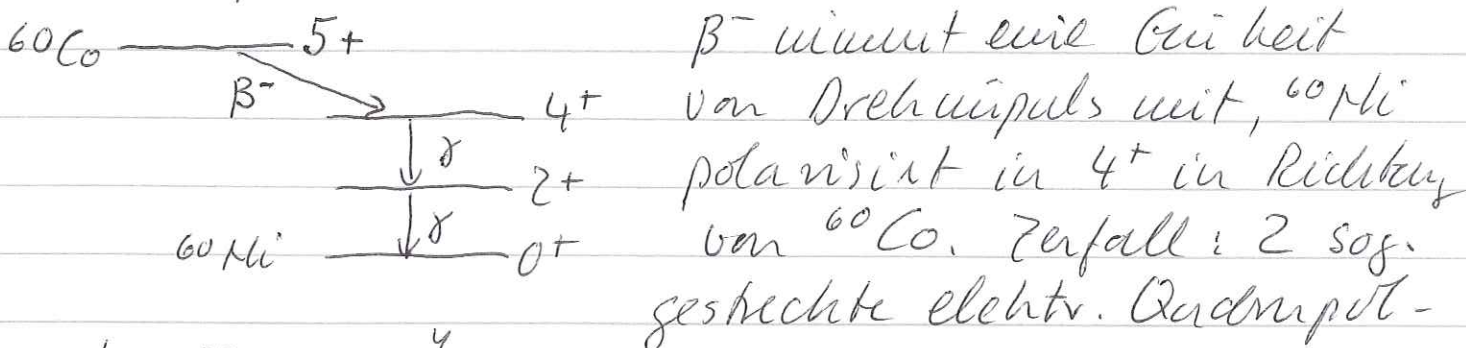
wade Kühlung wird Kernspin durch Soll wird - Spule ausgenutzt und Elektroden in Richtung  $\vec{B}$  und entgegengesetzt gemessen  $\Rightarrow$  Fig. 19-1, 2

Spur 5

$$\int_{\theta_e}^{\pi/2} V_e \langle \cos \theta_e \rangle = \langle \psi | \frac{\vec{s}_e \cdot \vec{v}}{131.111} | \psi \rangle < 0 \text{ gefunden}$$

Gleichungen maßen wellen in Richtung entgegen Kernspin ermittelt, d.h. Erwartungswert des Pseudoskalars  $\vec{s} \cdot \vec{v} \neq$  Parität verletzt

Grad der Polarisierung wird gemessen durch Anisotropie der Gammastrahlung in  $^{60}\text{Ni}$



übergänge



Polarisationsdiagramm der Gammaintensität, wenn Spinwidlung in x Diff  $90^\circ - 0^\circ$  ca 35%

## 9.2. Ladungskonjugation

Symmetrioperatoren der Ladungskonjugation kehren Vorzeichen aller Ladungskonjugierten Quantenzahlen um

Es sei  $|N\rangle = |A, Q, S, L\rangle, \dots \rightarrow$  dann ergibt

$C|N\rangle = |N\rangle$  weil für Parität  $C^2 = 1$   
Ladungskonjugationssymmetrie in der klassischen

Physik: Invananz der Maxwellgl. unter Verzichten  
aufkehr der elektrischen Ladung u. Stromdichte  
 $\vec{E} \xrightarrow{C} -\vec{E}$     $\vec{B} \xrightarrow{C} -\vec{B}$     $\vec{\mu} \xrightarrow{C} -\vec{\mu}$   
aber    $\vec{s} \xrightarrow{C} \vec{s}$    Spin unverändert

mögliche Eigenzustände:  $C|\Psi\rangle = \eta_C |\Psi\rangle$  mit  
Eigenwerten  $\eta_C = \pm 1$

allerdings sind die meisten Teilchen nicht  
Eigenzustände von C:  $C|n^+\rangle = |n^+\rangle \neq \pm |n^-\rangle$   
nur völlig unihalb Teilchen können Eigen-  
zustände von C sein, wenige Fälle

- Photon  $C|\gamma\rangle = \eta_C |\gamma\rangle$

da E-Feld einer bewegten Ladung Verteilung  
ändert unter C-Transformation, ordnet man zu  
 $\eta_C = -1$  für Photon

→ n-Photon Zustände haben  $\eta_C = (-1)^n$

-  $\pi^0$  zerfällt  $\pi^0 \rightarrow \gamma\gamma$ , also  $C|\pi^0\rangle = +|\pi^0\rangle$

Zerfall  $\pi^0 \rightarrow \gamma\gamma\gamma$  würde Ladungshyperjektions-  
symmetrie C verletzen. füllt Obergrenze

$$\Gamma_{\pi^0 \rightarrow \gamma\gamma\gamma} / \Gamma_{\pi^0 \rightarrow \gamma\gamma} < 3 \cdot 10^{-8}$$

- andere Eigenzust.  $e^+e^-$ ,  $\pi^+\pi^-$ ,  $\bar{p}p$ ,  $\bar{n}n$  { $\eta_C$  hängt von L und S ab}

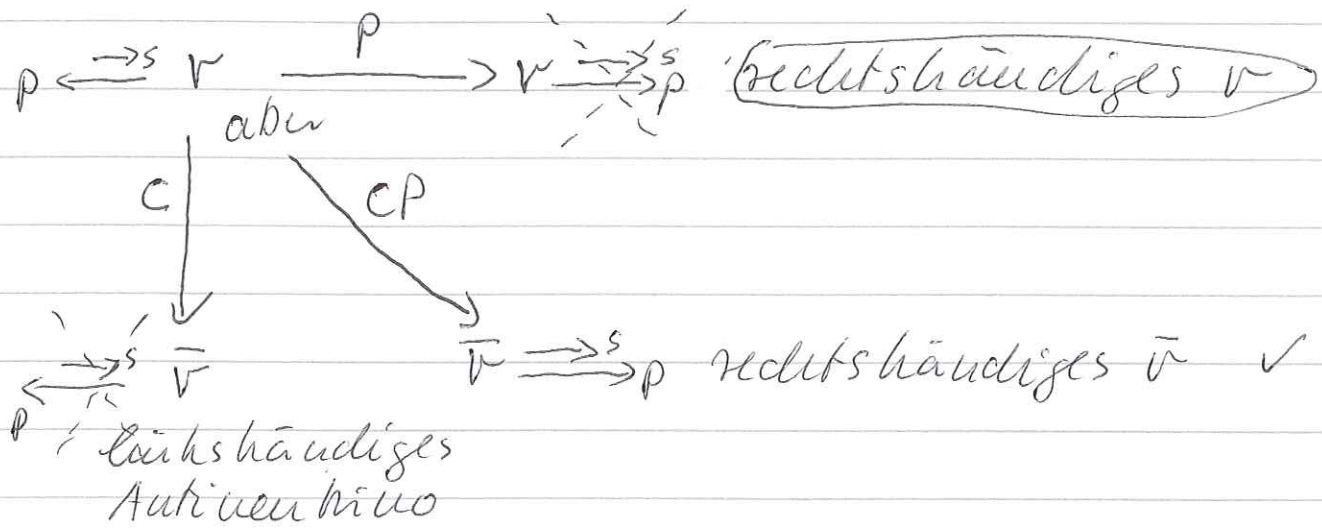
- starke und em. WW sind invanant unter C  
z.B. Reaktion  $p + \bar{p} \rightarrow \pi^+ \pi^0 \pi^-$

Winkelverteilung und Spektren von  $\pi^+$  und  $\pi^-$  identisch.

- schwache WW verletzt C-Invananz  
füllt experimentell, Neutrinos aus  $\beta$ -Zerfall  
sind immer links häudig, d.h.  $\xleftarrow[p]{-s}$

auch Antineutrinos sind immer rechtshäufig

$$\overline{\nu} \xrightarrow{S} p$$



Händigkeit der Neutrinos (Helizität) im  $\beta$ -Zerfall erklärt Verletzung der Parität und Ladungskonjugationssymmetrie, kann nun entsprechend konstruiert werden

= während man erwartet aufgekommen wurde, daß schwache WW CP symmetrisch, konnte am  $K^0, \bar{K}^0$ -System gezeigt werden: schwache WW verletzt auch CP auf  $10^{-6}$  Niveau (CERN Exp. NA31 und NA48 am SPS, KTeV am Tevatron)  $\rightarrow$  siehe Teilchenphysikvorlesung und Skript

### 9.3 Zeitumkehrinvarianz?

Transformation der Zeitumkehr durch Operator  $T$ .  $T$  ist nicht unitär, also gibt es keine damit verknüpfte Observable, Zeit  $t$  ist ein Parameter ( $T$  ist antiunitär). Dennoch ist Zeitumkehrinvarianz eine nützliche Symmetrie in der Physik.

Verhalten phys. Größen unter Zeitumkehr

$$\vec{r} \xrightarrow{T} \vec{r}$$

$$\vec{p} \xrightarrow{T} -\vec{p}$$

$$\vec{s} \xrightarrow{T} -\vec{s}$$

axialer Vektor wie  $\vec{r} \times \vec{p}$

$$\vec{E} \xrightarrow{T} \vec{E}$$

$$\vec{B} \xrightarrow{T} -\vec{B}$$

ax. Vektor

- Newton'sche Gesetze und Maxwell-Gleichungen erweisen sich unter T, da 2. Ableitungen

- Schrödinger Gl. ist  $i\hbar d\Psi/dt = H\Psi$

T ist Symmetrie, wenn  $[H, T] = 0$ .

Erfüllt, wenn  $T\Psi(t)$  und  $\Psi(t)$  dieselbe Schrödinger-Gl. erfüllen  $i\hbar dT\Psi(t)/dt = H\Psi(t)$

der einfachste Versuch  $T\Psi(t) = \Psi(-t)$  schlägt fehl, Gruppe  $-t = t'$  und erhält

$$-i\hbar d\Psi(t')/dt' = H\Psi(t')$$

Korrektur Ansatz Wigners  $T\Psi(t) = \Psi^*(-t)$

beachte freies Teilchen mit Impuls  $\vec{p}$

$$\Psi(\vec{r}, t) = \exp\left(\frac{i}{\hbar}(\vec{p} \cdot \vec{r} - Et)\right)$$

zeitumgekehrte Wellenfunktion

$$\begin{aligned} T\Psi(\vec{r}, t) &= \Psi^*(\vec{r}, -t) = \exp\left(-\frac{i}{\hbar}(\vec{p} \cdot \vec{r} + Et)\right) \\ &= \exp\left(\frac{i}{\hbar}(-\vec{p} \cdot \vec{r} - Et)\right) \end{aligned}$$

$\Rightarrow$  beschreibt Teilchen mit Impuls  $-\vec{p}$ , d.h. man kann T  $\Psi(\vec{r}, t)$  nicht als Teilchen, das in der Zeit rückwärts läuft, interpretieren. Physische Interpretation von T ist unklar ob Bewegung

$$T|\vec{p}, \vec{\tau}\rangle = |\vec{-p}, -\vec{\tau}\rangle$$

- Tests von T-Symmetrie? Keine observablen Ergebnisse

werte. Aber T-Invarianz impliziert Symmetrie von Reaktionssätzen in Vorwärts- und Rückwärtsrichtung nach Korrelatoren für Phasenräume "detailed balance" Fig. 9-3

guter Test in starker WW

em WW: Elementarteilchen mit Spin  $\vec{s}$  dürfen kein elektrisches Dipolmoment haben. Würde sowohl P als auch T verletzen\*

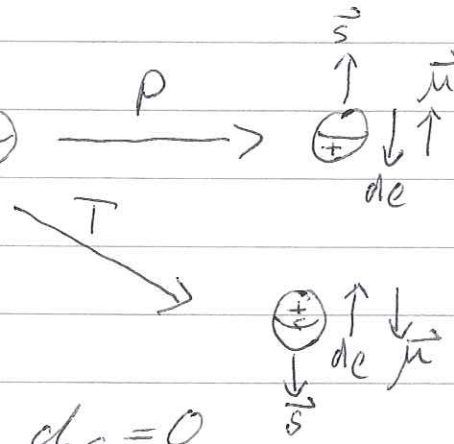
Vorstellung Teilchen als Kugel mit räumlich asymm. Ladungsverd., Richtung von  $\vec{s}$  fest. Variagnsdrehfest und Richtung negat. Dipolmoment  $\vec{\mu}$

T und P aber gute Systeme, wenn  $d_C = 0$

Neutron:  $d_C < 2 \cdot 9 \cdot 10^{-26} \text{ e} \cdot \text{cm}$

Elektron:  $d_C = (0.07 \pm 0.07) 10^{-26} \text{ ecm}$

\* negat. Dipolmoment  $\vec{\mu} \propto \vec{s} \cdot \vec{B}$   
el. Dipolmoment  $d_C \propto \vec{s} \cdot \vec{E}$   
d.h. rel. Richtung von  $\vec{\mu}$  und  $d_C$  ändert sich mit P und T



$$\begin{array}{c} \vec{s} \cdot \vec{B} \xrightarrow{T} \vec{s} \cdot \vec{B} \\ \vec{s} \cdot \vec{E} \xrightarrow{T} -\vec{s} \cdot \vec{E} \\ \vec{s} \cdot \vec{E} \xrightarrow{P} -\vec{s} \cdot \vec{E} \\ \vec{s} \cdot \vec{B} \xrightarrow{P} \vec{s} \cdot \vec{B} \end{array}$$

- CPT-Theorem: unabhängig von Schrödinger 1951 und Gell-Mann 1954 postuliert für praktisch jeden vorstellbaren Hamiltonoperator gilt  $[CPT, H] = 0$   
generalisiert durch Pauli 1955: jede lorentzinvariante, relativistische Feldtheorie, die causal ist, ist CPT invariant

eine Strahltheorien und Theorien der Quantenphysik  
verletzen CPT (und damit Lorentzinvarianz)

Konsequenz von CPT Invanz: unsere Welt und eine zeitumgekehrte, paritätsinvierte Antiwelt müssen sich identisch verhalten.

Lebensdauern und Massen von Teilchen und Antiteilchen müssen identisch sein

$$|m_p - m_{\bar{p}}| / m_p < 2 \cdot 10^{-9}$$

$$|\tau_{\mu^+} - \tau_{\mu^-}| / \tau_{\text{bare}} < (2 \pm 8) \cdot 10^{-5}$$

Zukunft: Messung von Eigenschaften von Antihelium, z.B. 1s-2s Übergang auf  $10^{-15}$   
Kürzlich gemessen: ALICE am LHC

rel. Differenz des Rastes zu Ladungsverhältnissen  
Antideuterium-Dektrium ( $0.9 \pm 0.5 \text{ (stat)} \pm 1.4 \text{ (syst.)} \cdot 10^{-4}$ )

Antihelium 3-Helium 3 ( $-1.2 \pm 0.9 \text{ (stat)} \pm 1.0 \text{ (syst.)} \cdot 10^{-3}$ )

mit Info über Proton und Neutron  $\rightarrow$

rel. Unterschied in Bindungsenergien

$$\Delta E_{d\bar{d}} / E_d = -0.04 \pm 0.05 \text{ (stat)} \pm 0.12 \text{ (syst)}$$